

УДК 004.932.2

**А. В. Мезенцев<sup>1</sup>, А. Н. Буточнов<sup>1</sup>,  
В. В. Юзефович<sup>1</sup>, С. В. Миронюк<sup>2</sup>**

<sup>1</sup>Інститут проблем регистрації інформації НАН України  
ул. Н. Шпака, 2, 03113 Київ, Україна

<sup>2</sup>ГП «Конструкторське бюро «Южное» им. М.К. Янгеля»  
ул. Криворіжська, 3, 49008 Дніпропетровськ, Україна

## **Модель процеса функціонування корреляціонно-екстремальної системи навігації летательних апаратов с учеом факторов, впливающих на точность и оперативность обробки изображений**

*Предложена обобщенная модель процесса функционирования корреляционно-экстремальных систем навигации с учетом основных факторов неопределенности условий функционирования этих систем вследствие влияния различного рода мешающих воздействий.*

**Ключевые слова:** модель, эталонное изображение, корреляционно-экстремальная система навигации, анализ, обработка изображений, помеха, шум.

### **Введение**

Функционирование бортовых корреляционно-экстремальных систем навигации (КЭСН) летательных аппаратов (ЛА) неразрывно связано с обработкой двумерных (трехмерных) текущих (ТИ) и эталонных изображений (ЭИ) наземных объектов — ориентиров навигации в условиях наличия различного рода мешающих факторов.

Создание модели функционирования КЭСН ЛА является необходимым условием решения таких задач как синтез ЭИ, отработка и испытание алгоритмов сопоставления ТИ и ЭИ, оценка их устойчивости к искажениям ТИ, обоснование требований к точности юстировки антенны и точности навигации ЛА.

### **Постановка задачи и анализ литературы**

К мешающим факторам, усложняющим работу КЭСН, относятся [1]:

— шумовые эффекты (несовершенство сенсоров приемо-передающей аппаратуры, аппаратуры оцифровки изображений, трудные условия съемки, недостаток освещения и др.);

- сложный текстурированный фон, на котором происходит обнаружение объектов;
- эффекты загораживания (заслонения) одних объектов другими;
- искажающие эффекты типа различных расфокусировок и дисторсий, раркусные искажения и др.;
- эффекты резкой смены освещения, блики, тени, особенно в динамически меняющихся сценах;
- разнообразие или изменчивость самих объектов обнаружения, дефекты, временные изменения формы, вегетационные циклы растительности и т.п.;
- эффекты изменения среды между сенсорами и объектами наблюдения — задымления, атмосферные осадки, пыль, искусственные помехи и т.д.;
- несинхронная запись и обработка данных в динамических задачах обнаружения;
- влияние неравномерного нагрева обтекателя.

Нестабильность информативных признаков наземных объектов и окружающих фонов в зависимости от приведенных внешних факторов приводит к частичной либо полной потере информации об объекте навигации. В этом случае решение задачи навигации возможно благодаря выбору диапазона волн, в котором характеристики визируемых наземных объектов являются наиболее устойчивыми, а также (в случае искусственной маскировки объектов навигации) привязка к соседним объектам с устойчивыми характеристиками излучения (отражения). Все-погодность КЭСН также обеспечивается соответствующим выбором диапазона длин волн.

В настоящее время вопросы помехозащищенности и борьбы с внутренними шумами приемников широко освещены в литературе [2, 3]. Также известны методы расчета шумовых характеристик антенного обтекателя [4, 5].

Высокое быстродействие КЭСН обеспечивается использованием помехоустойчивых быстродействующих алгоритмов обработки изображений, так называемых многоканальных (матричных) КЭСН [6, 7].

Создание модели процесса функционирования КЭСН с учетом влияния внешних и внутренних факторов является необходимым условием решения таких задач как синтез ЭИ, разработка алгоритмов сопоставления ТИ и ЭИ и оценивание их устойчивости к искажениям ТИ, обоснование требований к инерциальной навигационной системе (ИНС) (в частности, к точности юстировки антенны, точности определения углов крена, тангажа, рыскания ЛА).

В работе [8] обоснованы принципы построения и алгоритм функционирования высокоточной системы управления, в которой комплексно используется ИНС и матричная радиометрическая КЭСН миллиметрового диапазона (ММД). В работе [9] представлена модель навигации высокоскоростных ЛА по площадным наземным объектам сложной конфигурации матричными радиометрическими КЭСН ММД. Аналогично, в [10] приведена модель КЭСН ММД при обнаружении и идентификации малоразмерных объектов, составляющих групповой объект при их подсветке широкополосным шумовым и узкополосным детерминированным сигналом с одной и с двух позиций.

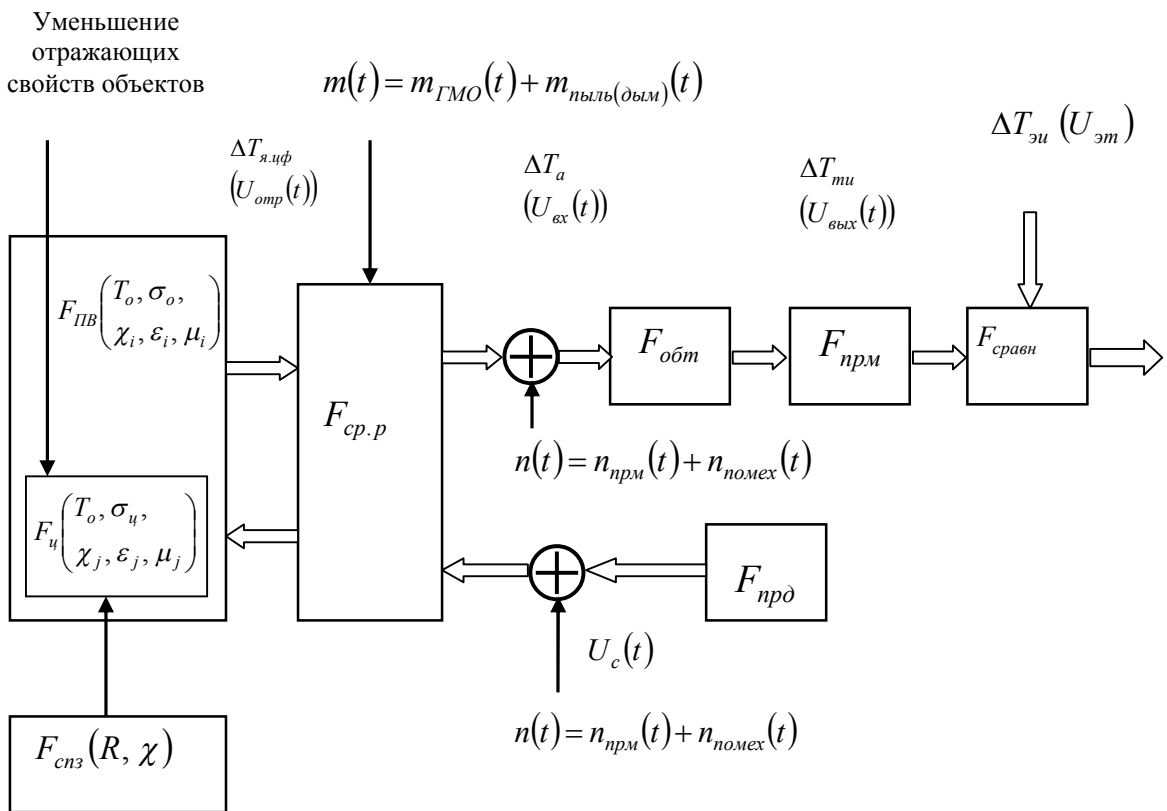
Таким образом, анализ моделей, приведенных в вышеизложенной литературе, показывает необходимость разработки обобщенной модели процесса функ-

ционирования КЭСН с учетом и возможностью комплексного оценивания влияния большого количества внешних и внутренних факторов, влияющих на работу системы в целом.

**Целью работы** является разработка модели процесса функционирования КЭСН с учетом влияния внешних и внутренних факторов.

### Модель процесса функционирования КЭСН и формирования команд управления

Обобщенная модель процесса функционирования КЭСН может быть представлена в следующем виде.



Обобщенная модель процесса функционирования КЭСН

В представленной на рисунке модели приняты следующие обозначения:  $F_{NB}$ ,  $F_u$ ,  $F_{cp.p}$ ,  $F_{обт}$ ,  $F_{npm}$  — операторы поверхности визирования, цели, среды распространения, обтекателя, радиоприемного устройства;  $F_{cn3}$  — оператор средств пассивной защиты цели;  $F_{сравн}$  — обобщенный оператор, характеризующий алгоритм процесса сравнения ТИ и ЭИ КЭСН;  $T_0$  — термодинамическая температура цели и поверхности визирования;  $\Delta T_{я.иф}$  — радиояркостной или тепловой контраст между целью и фоном;  $\Delta T_a$  — antennная температура;  $\Delta T_{mu}$  — сигнал на вы-

ходе соответствующего датчика информационного поля, характеризующий ТИ;  $\Delta T_{\text{эу}}$  — сигнал, характеризующий ЭИ в системе вторичной обработки (СВО);  $\chi_j$  — излучающие способности цели;  $\varepsilon_j, \mu_j, \varepsilon_i, \mu_i$  — диэлектрическая и магнитная проницаемости цели и типовых фонов соответственно;  $m(t) = m_{\text{ГМО}}(t) + m_{\text{пыль(дыма)}}(t)$  — мультиплектические помехи, обусловленные влиянием гидрометеообразований, а также влиянием пыли (дыма);  $n(t) = n_{\text{прем}}(t) + n_{\text{помех}}(t)$  — аддитивные помехи с учетом собственных шумов приемника;  $U_{\text{omp}}(t)$  — сигнал, характеризующий отражающие свойства цели;  $U_c(t)$  — сигнал передатчика;  $U_{\text{вх}}(t)$  — сигнал на входе приемника;  $U_{\text{вых}}(t)$  — сигнал на выходе приемника;  $U_{\text{эм}}(t)$  — сигнал, характеризующий ЭИ;  $R(t, \vec{r})$  — решающая функция (РФ), представляющая собой результат сравнения ЭИ и ТИ, используемых для коррекции траектории ЛА на конечном участке.

Наземный объект (цель) определяется собственной радиояркостной температурой  $T_0$ , зависящей от диэлектрической ( $\varepsilon_j$ ) и магнитной ( $\mu_j$ ) проницаемостей, а также эффективной поверхности рассеяния ( $\sigma_0$ ) в случае его активной подсветки. Объект имеет собственную излучательную способность  $\chi_j$ . Таким образом, визируемый наземный объект (цель) может быть представлен оператором  $F_{\text{Ц}}[T_0, \sigma_0, \chi_j, \xi_j, \mu_j]$ . Кроме того, цель может характеризоваться оператором средств пассивной защиты цели  $F_{\text{СПЗ}}[R, \chi]$ .

Фоново-целевая обстановка в момент времени  $t_0$  будет характеризоваться набором векторов значений параметров, описывающих, соответственно, информационные характеристики объекта и фона  $\vec{x}_i$ , погодно-климатические (гидрометео) условия  $\vec{y}_i$  и помеховую обстановку в районе цели  $\vec{z}_i$  с координатами  $\vec{r}(r_1, r_2, r_3)$ . Неоднородная поверхность фона земной поверхности также характеризуется собственной радиояркостной температурой в различных погодных условиях, что влечет за собой изменение диэлектрической ( $\varepsilon_i$ ) и магнитной ( $\mu_i$ ) проницаемостей. Таким образом, фон может быть представлен оператором  $F_{\text{ПВ}}[T_o, \sigma_0, \chi_i, \xi_i, \mu_i]$ .

Сочетание излучательной способности объекта и фона образует радиояркостной контраст «объект-фон»  $\Delta T_{\text{я.уф}}$ .

Среда распространения представлена оператором  $F_{\text{CP.P.}}[I_{\text{Д}}, W_{\text{ОБ}}, D_{\text{МИН}}]$ . Она ослабляет контраст и разность ЭПР до значений  $\Delta T', \Delta \sigma'$  вследствие влияния дождя с интенсивностью  $I_{\text{Д}}$ , облачности с водностью  $W_{\text{ОБ}}$  и тумана, ограничивающего прямую оптическую видимость до дальности  $D_{\text{МИН}}$ . Кроме того, контраст и яркость цели существенно может ослаблять пыль (дым), т.е.  $m(t) = m_{\text{ГМО}}(t) + m_{\text{пыль(дыма)}}(t)$ .

К полезному сигналу на входе приемника добавляются (аддитивно) шумы различной физической природы: шумы обтекателя антенны  $F_{OBT}$ , преднамеренные помехи  $n_{POMEH}(t)$ , шумы приемника  $n_{PRM}(t)$  (см. рисунок).

В КЭСН системой первичной обработки формируется ТИ объекта, а в системе вторичной обработки осуществляется процесс сравнения ТИ с ЭИ [11, 12].

На качество текущих изображений и, в конечном счете, на качество корреляционно-экстремальной обработки в сильной степени влияют междискретные (межпиксельные) и геометрические искажения ТИ, что выражается в дополнительном снижении полезного контраста и разности ЭПР  $\Delta T_{TH}$ .

ЭИ характеризуется оператором с неискаженным контрастом «объект-фон» и/или неискаженной разностью ЭПР  $\Delta T_{EI}$ .

В результате корреляционной обработки осуществляется двумерное совмещение текущего и эталонного изображений, вычисляется решающая функция алгоритма совмещения изображений  $R(t, \vec{r}) = F_{CPAVH}(F_{TH} * F_{EI})$ , координаты экстремума РФ и ошибки определения координат объекта, которые поступают в систему управления движением ЛА (см. рисунок).

Решающая функция, формируемая КЭСН с радиолокационным датчиком, будет иметь вид

$$R(t, \vec{r}) = \\ = F_c \left\{ U_0; F_{PRM} \left\{ n(t); F_{obm}; F_{cp.p} \left\{ m(t); F_{PB} [\varepsilon_0, \varepsilon_\phi, \delta\varepsilon_0, \delta\varepsilon_\phi, \mu_0, \mu_\phi, \delta\mu_0, \delta\mu_\phi, \alpha, \beta, f(F_{PRD})] \right\} \right\} \right\},$$

а пассивной (радиометрической, инфракрасной или телевизионной) КЭСН —

$$R(t, \vec{r}) = F_c \left\{ \Delta T_{EI}; \left\{ F_{pm} \left\{ F_{obm}; F_{cp.p} [F_{PB}(T_o + \delta T, \chi_i + \delta\chi_i)]; m(t) \right\}; n(t) \right\} \right\}.$$

## Выводы

Представленная обобщенная модель процесса функционирования КЭСН ЛА учитывает основные факторы, определяющие данный процесс. КЭСН ЛА должна быть адаптирована к указанным в статье условиям и факторам. Учет этих факторов должен осуществляться как на аппаратурном уровне (выбор типа датчиков, условий визирования объекта), так и на программно-алгоритмическом уровне (выбор оптимальных, помехоустойчивых алгоритмов восстановления и обработки изображений с высоким быстродействием бортового специализированного процессора).

1. Сотников А.М. Проблемы и перспективы развития навигационного обеспечения летательных аппаратов / А.М. Сотников, В.А. Таршин: зб. наук. пр. ХУПС. — 2013. — № 3(36). — С. 57–63.
2. Односельцев В.А. Подавление импульсных помех при радиометрическом приеме / Н.А. Односельцев // Радиоизмерительная аппаратура для решения задач. — Горький: Горьк. гос. ун-т, 1988. — С. 22–29.

3. *Иощенко АН.* Помехоустойчивость широкополосных систем связи при различных методах подавления сосредоточенных по спектру помех / А.Н. Иощенко: труд. учебных институтов связи — 1971. — Вып. 55. — С. 19–30.
4. *Калашников В.С.* Влияние шумов антенного обтекателя при его аэродинамическом нагреве на работу бортовой аппаратуры / В. С. Калашников. В. Ф. Михайлов // Изв. вузов. Радиоэлектроника. — 1976. — Т. 19, № 5. — С. 3–8.
5. *Замятин П.П.* Антенные обтекатели / В.И. Замятин, А.С. Ключников, В.П. Швец. — Минск: БГУ, 1980. — 192 с.
6. *Passive multichannels millimeter-waves imaging system* / V.P. Gorishniak, A.G. Denisov, S.E. Kuzmin [et al.] // The Fifth International Kharkov Symposium on Physics and Engineering of Microwaves, millimeter and SubMillimeter Waves. Symposium Proceedings. — Kharkov, Ukraine. — June 21–26. — 2004. — Vol. 1. — P. 202–204.
7. *Применение принципов радиометрии в корреляционно-экстремальных системах навигации летательных аппаратов (монография)* / В.И. Антюфеев, В.Н. Быков [и др.] — М: Физматлит, 2009. — 352 с.
8. *Антюфеев В.І.* Принципи побудови високоточної системи управління високошвидкісних літальних апаратів / В.І. Антюфеев, В.М. Биков, А.М. Гричанюк / Системи озброєння і військова техніка: науковий журнал. — Х.: ХУПС. — 2006. — № 1 (5). — С. 7–12.
9. *Быков В.Н.* Моделирование процесса навигации высокоскоростных летательных аппаратов по площадным наземным ориентирам сложной формы / В.Н. Быков / Моделювання та інформаційні технології: зб. наук. пр. — Ін-т проблем моделювання в енергетиці ім. Г.С. Пухова. — К.: НАНУ. — 2005. — Вип. 33. — С. 3–11.
10. *Быков В.Н.* Моделирование процесса навигации высокоскоростных летательных аппаратов по малоразмерным наземным объектам / И.П. Быков // Системи обробки інформації: зб наук. пр. — Х.: ХУПС. — 2008. — Вип. 5(72). — С. 44–47.
11. *Оценка качества эталонных изображений, создаваемых для корреляционно-экстремальных систем навигации* / Мезенцев А.В., Буточнов А.Н., Юзефович В.В., Миронюк С.В. // Реєстрація, зберігання і оброб. даних. — 2014. — Т. 16, № 4. — С. 44–53.
12. *Фрактальный метод формирования эталонных изображений в системах технического зрения* / Мезенцев А.В., Буточнов А.Н., Юзефович В.В., Миронюк С.В. // Реєстрація, зберігання і оброб. даних. — 2015. — Т. 17, № 1. — С. 28–35.

Поступила в редакцию 14.04.2016